

(HUANJING KEXUE)

# ENVIRONMENTAL SCIENCE

第38卷 第8期

Vol.38 No.8

2017

中国科学院生态环境研究中心 主办

斜 学 出 版 社 出版



## 林 佬 种 享 (HUANJING KEXUE)

## ENVIRONMENTAL SCIENCE

第38卷 第8期 2017年8月15日

## 目 次

用于滤膜称重的饱和氯化镁溶液恒湿系统搭建与评估 ************************************
钢铁工业排放颗粒物中碳组分的特位 ····································
吊州印入气 PM <sub>2.5</sub> 中 PAHs 冯朵特他及米娜胜好
兰州河谷盆地大气多环芳烃干沉降通量及来源    剧媛丽,刘攀亮,于周锁,高宏,毛潇萱,马建民,黄韬(3120)
株洲市大气降尘中元素特征及来源分析····································
传统北京烤鸭烤制过程中大气污染物的排放特征 徐敏,何万清, 羡慕,韩力慧,潘涛,石发车(3139)
基于牛蕔测试的重型柴油牛尾气典型烷烃排放特值 "
基于 wavelet-SVM 的 $PM_{10}$ 浓度时序数据预测 ····································
厂州港船舶停泪上况非放因子实测及排放量初步估算。
黄学良,张洲,杨威强,李晟,朱明,方华,何俊杰,陈俊文,万承浩,张艳利,刘国光,黄祖照,王宇骏,王新明(3162)
沙尘大气对生物气溶胶中总微生物浓度及粒径分布的影响 李鸿涛, 祁建华, 董立杰, 高冬梅(3169)
沙尘天气对生物气溶胶中总微生物浓度及粒径分布的影响 李鸿涛,祁建华,董立杰,高冬梅(3169) 典型生活垃圾处理设施恶臭排放特征及污染评价 张明,唐访良,俞雅雲,徐建芬,陈金汉,余波,周姗,张伟(3185) 杭州地区城区降雪中全氟化合物的污染特征 张明,唐访良,俞雅雲,徐建芬,陈金汉,余波,周姗,张伟(3185) 黄浦江流域典型污水中不同粒径胶体的三维荧光光谱特征 爰明华,晏彩霞,杨毅,周俊良,刘敏(3192) 漓江地表水体有机碳来源 赵海娟,肖琼,吴夏,刘升,苗迎,帝亚,善思宫(2300)
杭州地区城区降雪中全氟化合物的污染特位 张明,唐访良,俞雅雲,徐建芬,陈金汉,余波,周姗,张伟(3185)
黄湘江流域典型污水中不同粒径胶体的二维荧光光谱特征···································
周江地表水体有机碳来源 ····································
- 发学: 双刀云双四对: 一里看俗小牛小化子及俗胜儿仇w的影响 ·········· 天飞红, 湘夜云, 字廷冯, 瓜闽, 字丽, 更忘于(5209)
城市不同功能区地表水重金属污染特性比较:以宁波为例
地下水主要组分水化学异常识别方法对比:以柳江盆地为例 张小文,何江涛,彭聪,张昌延,倪泽华(3225) 人为扰动背景下城郊溪流底质磷的生物-非生物吸收潜力分析 李如忠,叶舟,高苏蒂,郑侠(3235) 长江口低氧区沉积物中磷的形态及其环境意义 如如果,越家业,冉祥滨,赵晨英,刘季花,王小静(3243)
人为扰动背景下城郊溪流底质鳞的生物-非生物吸収潜力分析
长江口低氧区沉积物中磷的形态及具环境意义
三峡库区小流域不同土地利用类型"土壤-水体"氮磷含量特征及其相互关系
黄土高原降雨驱动下流域碳输移特征及其碳流失评估:以羊圈沟坝系流域为例
新型溴代苯酚类消毒副产物的氯化降解机制
新望保气本防尖相每副广彻的氯化降胜机制 ····································
深形心及低蜓剂组成对低蜓-超滤过住的影响····································
仅条刊仔研住梁切能杆行但及共与环境囚丁相大性分析 问答,学与玉,惭爽,张洪波,重聪聪,飑半球,天芯六(3290)
石石小序叶绿系 a 时至万年及兵影响四丁万列 · · · · · · · · · · · · · · · · · · ·
个问证地快望中枢杀似生物的多样性
工程例似生物杆洛结构随学卫受化行位 ····································
基丁尚迪重测序的流化床生物滤碲细图杆洛结构分析 ····································
漢形念及混鍵剂组成对混凝-超滤过程的影响
基丁城印行小页源化的ໄ观深帅匹与行小顶处理
生物展知堂后介小环课伊化馆美伯侬及小的双木
顺气但夹苇惟化苇化-生化柄百工乙体及处理床化工及小
pn 件面对两件从笔数笔化困处理占两小行小脱氮双能的影响 ················· ↓ 标类,用内,字序,工玩版,大图你,工玩版(3309) ····································
借相及小印刀业明化-//、科英利化加须的可钉住
受到级外中北的似土初回收及共利亚中至量的惟凡付住 ************************************
本角    大田   AIVANIMOA   「一切一一中山尺柱
高龄47.万百每每.化休
大陸
$\mathbb{R}^{1}$ 的人,我们们就是一个一个一个一个一个一个一个一个一个一个一个一个一个一个一个一个一个一个一个
不同施肥方式下紫色+ N O 与 NO 的排放特征
地膜覆盖对蔬菜地甲烷排放的影响 ····································
微气泡臭氧催化氧化-生化耦合工艺深度处理煤化工废水      刘春,周洪政,张静,陈晓轩,张磊,郭延凯(3362) pH 冲击对海洋厌氧氨氧化菌处理含海水污水脱氮效能的影响      于德爽,周同,李津,王晓霞,吴国栋,王骁静(3369) 酒精废水部分亚硝化-厌氧氨氧化脱氮的可行性
长期施肥酸性旱地土壤硝化活性及自养硝化微生物特征 徐白璐,钟文辉,黄欠如,秦红益,邓欢,韩成(3473)
施加碳酸钙对酸性土壤微生物氮循环的影响 郭安宁,段桂兰,赵中秋,唐仲,王杨扬,王伯勋(3483)
水稻不同生育期根际与非根际土壤胞外酶对施氮的响应 魏亮, 汤珍珠, 祝贞科, 蔡观, 葛体达, 王久荣, 吴金水(3489)
凋落物呼吸温度敏感性的变化特征及其影响因素
凋落物呼吸温度敏感性的变化特征及其影响因素 ····································
小麦秸秆驱动菱铁矿执解制备磁性生物质碳及其吸附 Cd <sup>2 +</sup> 活性
型 4 T 到海池 倒身化 片虱扒 木林串 防夕 防工电 (2510)
交通污染暴露对 DNA 甲基化的影响 ····································
外接菌种对污泥堆肥效能及堆体细菌群落的影响 杨萍萍, 尹华, 彭辉, 唐少宇, 卢妙, 刘皓(3536)
交通污染暴露对 DNA 甲基化的影响
《环境科学》征稿简则(3280) 《环境科学》征订启事(3301) 信息(3353,3472,3535)

## 不同施肥方式下紫色土 $N_2O$ 与 $NO_x$ 的排放特征

胡磊<sup>1,2,3</sup>,刘韵<sup>1,2,3</sup>,朱波<sup>1,3</sup>\*

(1.中国科学院成都山地灾害与环境研究所,成都 610041; 2.中国科学院大学,北京 100049; 3.中国科学院山地表生过程 与生态调控重点实验室,成都 610041)

摘要:利用紫色土长期施肥试验平台,采用静态箱-气相色谱法开展紫色土"冬小麦-夏玉米"轮作系统  $N_2O$  和  $NO_x$  排放的连续两周年(2014年11月~2016年9月)定位观测.研究了氮肥总量相同条件下的常规氮磷钾化肥(NPK)、猪厩肥(OM)、秸秆还田配施氮磷钾化肥(RSDNPK)、猪厩肥配施氮磷钾化肥(OMNPK)和氮磷钾化肥配合硝化抑制剂(DCDNPK)等施肥方式对  $N_2O$  和  $NO_x$  排放的影响,短期不施肥处理(CK)作为排放系数计算的对照.结果表明,所有施肥方式下紫色土  $N_2O$  排放峰均出现在施肥初期和大降雨过程期;  $NO_x$  排放过程与  $N_2O$  类似,排放峰出现在施肥初期,但强降雨期未出现明显排放峰.NPK、OM、RSDNPK、OMNPK和 DCDNPK处理的  $N_2O$  年均累积排放量分别为:1.35、4.38、1.43、2.46、0.92 kg·hm<sup>-2</sup>,排放系数分别为:0.33%、1.41%、0.36%、0.73%、0.18%;相应处理的  $NO_x$  年均累积排放量分别为:0.11、0.38、0.10、0.27、0.04 kg·hm<sup>-2</sup>,排放系数分别为:0.03%、0.03%、0.09%、0.01%.较常规化肥,增加有机物料如施用猪厩肥和猪厩肥配施氮磷钾肥分别显著增加 226%和 83%的  $N_2O$  排放(P < 0.01),同时  $NO_x$  排放分别显著增加 262%和 157%(P < 0.01);常规化肥配合硝化抑制剂(DCDNPK)使用减少 32%的  $N_2O$  排放和 62%的  $NO_x$  排放(P < 0.01),秸秆还田配施氮磷钾肥对  $N_2O$  排放略有增加(P > 0.05), $NO_x$  排放略有减少(P > 0.05),统计分析进一步表明,土壤无机氮含量是  $N_2O$  和  $NO_x$  二者排放的主控因子,而土壤孔隙充水率与温度分别作为  $N_xO$  与  $NO_x$  各自排放的主控因子之一.

关键词:施肥方式; 累积排放; 排放系数; 控制条件; 合理施肥

中图分类号: X144; X16 文献标识码: A 文章编号: 0250-3301(2017)08-3442-09 DOI: 10.13227/j. hjkx. 201612250

# Characteristics of $N_2O$ and $NO_x$ Emissions from Purple Soil Under Different Fertilization Regimes

HU Lei<sup>1,2,3</sup>, LIU Yun<sup>1,2,3</sup>, ZHU Bo<sup>1,3</sup>\*

(1. Institute of Mountain Hazards and Environment, Chinese Academy of Sciences, Chengdu 610041, China; 2. University of Chinese Academy of Sciences, Beijing 100049, China; 3. Key Laboratory of Mountain Surface Processes and Ecological Regulation, Chinese Academy of Sciences, Chengdu 610041, China)

Abstract: N<sub>2</sub>O and NO, emissions from a winter wheat-summer maize rotation system in purple soil were measured on a long-term fertilization platform of purple soil for two consecutive cropping years (from November 2014 to September 2016) by using a closedchamber and gas chromatography-based system. Chemical fertilizer (NPK), pig manure (OM), incorporation of crop residues plus synthetic NPK fertilizer (RSDNPK), pig manure plus synthetic NPK fertilizer (OMNPK), and nitrification inhibitor with NPK fertilizer (DCDNPK) under the same rate of total nitrogen were involved in monitoring N<sub>2</sub>O and NO<sub>2</sub> emissions. Short-term fertilizerfree treatment (CK) was used as a control for emission coefficient calculation. The results showed that N<sub>2</sub>O emission peaks appeared in the early stage of fertilization and in the period of heavy rainfall for all fertilization regimes. The NO, emission process was similar to that of N<sub>2</sub>O, in that emission peaks appeared at the early stage of fertilization, yet no obvious emission peaks were observed during heavy rainfall. The annual cumulative emissions of N<sub>2</sub>O from NPK, OM, RSDNPK, OMNPK, and DCDNPK were 1.35, 4.38, 1.43, 2.46, and 0.92 kg·hm<sup>-2</sup>, respectively, and the emission coefficients were 0.33%, 1.41%, 0.36% 0.73%, and 0.18%. The annual emissions of NO, from NPK, OM, RSDNPK, OMNPK, and DCDNPK were 0.11, 0.38, 0.10, 0.27, and 0.04 kg·hm<sup>-2</sup>, respectively, and the cumulative emission coefficients were 0.03%, 0.13%, 0.03%, 0.09%, and 0.01%. Amendment of organic material was the main stimulator for N<sub>2</sub>O and NO, emissions, as they significantly increased 226% and 262% (for OM) and 83% and 157% (for OMNPK), respectively ( P < 0.01 ), compared with conventional synthetic fertilizers. The application of synthetic fertilizers combined with nitrification inhibitor (DCDNPK) significantly reduced N<sub>2</sub>O emissions 32% and NO<sub>2</sub> emissions 62% (P < 0.01), whereas straw returning with NPK application increased N<sub>2</sub>O emissions 6% and reduced NO<sub>2</sub> emissions 5% (P > 0.05). Furthermore, statistical analyses showed that soil inorganic N content was the main regulating factor of N,O and NO, emissions together, whereas soil water-filled pore space (WFPS) and temperature were the respective main regulating factors of N2O and NO.

收稿日期: 2016-12-29; 修订日期: 2017-03-13

基金项目: 国家自然科学基金项目(41271321); 国家重点基础研究发展规划(973)项目(2012CB417101)

作者简介: 胡磊(1990~),男,硕士研究生,主要研究方向为小流域氮循环,E-mail;1449574766@ qq. com

<sup>\*</sup> 通信作者,E-mail;bzhu@imde.ac.cn

emissions individually.

Key words: fertilization regime; cumulative emission; emission coefficient; regulation conditions; optimal fertilization

氧化亚氮( $N_2O$ )是联合国政府间气候变化专门委员会(IPCC)严格管控的温室气体成分, $N_2O$  在大气中的寿命约为 120 a,单位分子量  $N_2O$  的增温潜势(global warming potential, GWP)是  $CO_2$  的 310 倍,对全球总的 GWP 的贡献率是  $2\% \sim 4\%$  [1].  $N_2O$  还是大气平流层中导致臭氧层破坏的光化学反应的重要参与者 [2]. 据估计,大气中 90% 的  $N_2O$  来源于农业活动,且仍以  $0.3\% \cdot a^{-1}$  的速度增加 [3]. 相关研究表明,化肥的大量施用是导致  $N_2O$  大量排放最主要的原因 [4]. 氮氧化物  $NO_x$  虽然不能直接产生温室效应,但能通过对流层大气的光化学反应产生  $O_3$  间接地产生温室效应,此外  $NO_x$  也影响着大气的环境质量 [5~7]. 因此,农业施肥措施与  $N_2O$ 、 $NO_x$  排放的相关研究越来越受到国内外学者的广泛关注.

氮肥品种和施氮量对 N,O 的排放具有重要影 响[8],合理施肥能有效减少因施氮肥而引起的土壤 N,O 的排放[9]. 施用有机肥和缓/控肥料对土壤 N<sub>2</sub>O 排放的影响是当前研究的热点问题. 不同学者 研究有机肥施用对 N,O 排放的影响得出了不同的 结论, Ball 等[10]发现,在小麦地中总氮投入等量时, 有机肥处理 N,O 通量显著低于化学氮肥处理;有研 究指出有机肥的施用对农田土壤 N2O 的排放具有 促进作用[11];甚至有研究发现有机肥的施用几乎 不影响土壤 N,O 的排放[12]. 这可能因研究的土壤 性质、有机肥性质和气候环境等差异造成矛盾的结 果,可见,有机肥施用对 N<sub>2</sub>O 排放的影响还有待进 一步研究. 此外,缓/控释肥料不仅可以提高作物产 量及其肥料利用率,还能显著减少作物生长期田间 N,O 的排放[13~15],但缓/控肥料成本普遍偏高,并存 在养分控释效果不稳定等问题[16],导致缓/控肥料 推广应用缓慢. 因此,不同施肥方式下土壤 N,O 排 放过程并未完全明晰,导致降低 N2O 排放的合理施 肥方式选择十分困难,成为当前亟待解决的问题.

目前我国耕地土壤  $N_2O$  排放研究仍主要集中在东北和华北地区  $^{[17,18]}$  ,而针对重要的玉米和小麦粮食生产基地之一的四川盆地紫色土丘陵区的研究较少,关于施肥方式对该地区土壤  $N_2O$  排放的研究更少  $^{[19,20]}$  . 另一方面,不同施肥方式下土壤  $NO_x$  排放的研究也鲜见报道. 因此,本文依托紫色土长期施肥试验平台,探究几种施肥方式下"小麦-玉米"轮作土壤  $N_2O$ 、 $NO_x$  的排放特征及其影响因素,通过

深入认识施肥方式对  $N_2O$ 、 $NO_x$  排放的影响,以期 为紫色土地区土壤氮循环及氮肥管理研究提供科学 依据.

#### 1 材料与方法

#### 1.1 研究区概况

野外观测试验依托中国科学院盐亭紫色土农业生态试验站(105°27′E,31°16′N).该站位于四川盆地中北部的盐亭县林山乡,属中亚热带湿润季风气候,年均气温 17.3℃,多年平均降雨量 826 mm.农田生态系统为代表四川盆地紫色土丘陵区的典型旱地"小麦-玉米"轮作方式.

#### 1.2 供试土壤

供试土壤为发育于侏罗系蓬莱镇组紫色页岩的 钙质紫色土,田间持水量为 28.1% ~ 37.8%,凋萎湿度为 5.4% ~ 7.7%,为典型旱作土壤,平均土层厚度约 60  $\mathrm{cm}^{[21]}$ .0~20  $\mathrm{cm}$  表土基础理化性质为:pH 8.2,有机质 8.75  $\mathrm{g\cdot kg^{-1}}$ ,全氮 0.81  $\mathrm{g\cdot kg^{-1}}$ ,全磷 0.84  $\mathrm{g\cdot kg^{-1}}$ ,全钾 18.01  $\mathrm{g\cdot kg^{-1}}$ ,碱解氮 42.29  $\mathrm{mg\cdot kg^{-1}}$ ,有效磷 9.02  $\mathrm{mg\cdot kg^{-1}}$ ,速效钾 86.35  $\mathrm{mg\cdot kg^{-1}}$ ,土壤容重 1.34  $\mathrm{g\cdot cm^{-3}}$ ,土壤黏粒含量 6.5%,粉粒含量 58.9%,砂粒含量 34.6%.

#### 1.3 试验方案

供试作物选择四川盆地紫色土区的代表性轮作 作物冬小麦和夏玉米,冬小麦于每年11月种植,翌 年5月收获;夏玉米于每年5月播种,同年9月收 获. 田间试验在中国科学院盐亭紫色土生态试验站 的养分长期试验场开展,选择其中的6个处理:常规 氮磷钾肥(NPK)、秸秆还田配施氮磷钾肥 (RSDNPK)、猪厩肥(OM)、猪厩肥配施氮磷钾肥 (OMNPK)、硝化抑制剂与无机氮磷钾肥混施 (DCDNPK)和短期不施肥对照(CK). 氮肥为碳酸 氢铵(含纯氮 17%),磷肥为过磷酸钙(含 P<sub>2</sub>O<sub>5</sub> 12%),钾肥为氯化钾(含 K,O 60%). 除 CK 处理 外,各施肥处理保持施用氮素总量在同一水平,其中 小麦季施氮 130 kg·hm<sup>-2</sup>, 玉米季 150 kg·hm<sup>-2</sup>. 试 验采用完全随机区组设计,每个处理设置3个重复, 每个重复小区面积为 24 m2. 有机-无机复合施肥 时,无机化肥的氮量为总施氮量的60%,有机猪厩 肥为总施氮量的40%;有机肥处理为100%的猪厩 肥; 秸秆按本田秸秆全量还田计,约7 t·hm<sup>-2</sup>. 试验 中,还田秸秆采用小区内常规氮磷钾肥处理的上季作物秸秆,秸秆经剪碎后以覆土翻耕的形式还田.施肥前,提前测定新鲜猪厩肥和当季还田秸秆中全氮含量,并按纯氮总量进行换算.施肥方式采用基肥一次性于播种前人工施人,冬小麦肥料采用撒施,夏玉米采用穴施的施肥方式;耕作和施肥同步,耕作方式为人工锄耕,深度为20 cm. 除短期无肥处理外,各处理的施肥方式、施肥量和种植制度已延续12 a.

#### **1.4** N<sub>2</sub>O 和 NO<sub>x</sub> 的采集与分析

N<sub>2</sub>O 通量测定采用静态箱-气相色谱法,每个采 样点于上午09:00~11:00采集气体,每个重复每次 采集 5 针气样,每针间隔时间为 7 min. 采集后的气 样避光保存在 60 mL 医用注射器内,24 h 内完成分 析. 施肥初期的第一个星期,采样频率为一天一次, 第二星期频率降为隔一天采一次,两星期之后采样 频率降为一周两次,如遇降雨则加密采集3次.全 年的采样主要集中在作物生长周期内,作物收获后 的休闲期由于土壤温度和水分等因子变化小,频率 降为一周一次.  $NO_x$  气体采集在  $N_2O$  采集之前和 N,O 采集完毕之后分两次采集,采用抽气泵将静态 箱中的气体收集到气袋中并避光保存(当第一次气 袋采集时需将采气暗箱顶部橡皮塞打开,避免静态 箱内产生负压影响 N,O 的采集). 采集气体的同 时,同步测量采样箱内气体温度、土壤温度(5 cm) 和土壤体积含水率,同步采集0~10 cm 土壤样品用 以分析土壤含水率和无机氮(NH<sub>4</sub>+N、NO<sub>3</sub>-N) 含量.

 $N_2O$  浓度的气相色谱测量方法见文献[22],  $NO_x$  浓度用氮氧化物分析仪(Thermo-Model 42i)进行测定,土壤无机氮( $NH_4^+$ -N、 $NO_3^-$ -N)含量采用  $0.5 \ mol \cdot L^{-1} \ K_2 SO_4$  浸提, AA3 流动分析仪(德国 SEAL 公司)测定(水土比为 5:1).

#### 1.5 数据分析与处理

利用  $N_2O$ 、 $NO_x$  浓度随时间的平均变化率来计算单位面积的气体排放通量:

$$F = k \cdot \frac{M}{V_0} \cdot \frac{P}{P_0} \cdot \frac{T_0}{T} \cdot H \cdot \frac{\mathrm{d}c}{\mathrm{d}t}$$
 (1)

式中,F 是气体排放通量[ $\mu$ g·( $m^2$ ·h) $^{-1}$ ],M 为气体摩尔质量(g·mol $^{-1}$ ), $V_0$  为标准状态下气体摩尔体积(22.41×10 $^{-3}$ m $^3$ ·mol $^{-1}$ ), $T_0$  和  $P_0$  分别为标准状态下的温度(237 K)和气压(1031 hPa),P 是采样点的气压(hPa),T 是采样时箱内的平均温度(K),dc/dt 是采样箱内浓度的变化速率,H 是采样箱的高

度(cm), k 为量纲转换系数. 根据已观测的气体通量数据,利用一次线性内插法计算未观测时间段包括休闲期的排放通量,并逐日累加得到累积排放量:

$$E = k \{ X_n + \sum_{i=1}^n [X_{i-1} + t \cdot (X_{i-1} + X_i)/2] \}$$
 (2)

式中,E 是气体的累积排放量(kg·hm<sup>-2</sup>), $X_i$ 、 $X_{i-1}$ 和 $X_n$  是第 i、i - 1 和 n 天气体的日排放通量值 [mg·(m²·d)<sup>-1</sup>],t 是相邻两次观测通量之间的间隔天数(d),n 是作物有效排放通量的总观测天数,k为量纲转换系数.

$$f = \frac{t_{\rm N} - t_{\rm CK}}{t} \tag{3}$$

式中,f是  $N_2O$  或  $NO_x$  的排放系数(%), $t_N$  是施肥后气体( $N_2O$  或  $NO_x$ )的累积排放量( $kg \cdot km^{-2}$ ), $t_{CK}$  为对照不施肥 CK 处理的气体( $N_2O$  或者  $NO_x$ )累积排放量( $kg \cdot km^{-2}$ ),t是 年 氮 肥 施 用 总 量( $kg \cdot km^{-2}$ ).

利用 Excel 2007 进行数据汇总与计算, SPSS 进行相关性分析, Origin 9.0 进行绘图.

#### 2 结果与分析

#### 2.1 土壤环境因子的变化

#### 2.1.1 土壤温度和土壤孔隙充水率变化

2014~2016 年"小麦-玉米"轮作周期内土壤 5 cm 温度和土壤孔隙充水率(WFPS)的动态变化如图 1. 土壤 5 cm 温度呈现明显的季节性变化,夏季高,冬季低,各个施肥处理间土壤温度无显著差异(P>0.05),日最高、最低与平均土壤温度分别为31.6、1.5 和17.5℃. 2014~2015 轮作期总降雨量为938 mm,其中小麦季为164.3 mm,玉米季为773.7 mm; 2015~2016 轮作周期内总降雨量807.1 mm,其中小麦季为264 mm,玉米季为543.1 mm.降雨主要集中在夏季5~9月. 土壤孔隙充水率(WFPS)随降雨发生呈现明显波动,波动范围在15.4%~75.6%,但各施肥处理间无显著差异(P>0.05).

#### 2.1.2 紫色土NH<sub>4</sub> -N、NO<sub>3</sub> -N的含量变化

两个轮作周期内土壤表层 $NH_4^+-N$ 、 $NO_3^--N$ 含量随作物生长期变化如图 2,除 CK 和 DCDNPK 处理外,其余处理在小麦季撒施肥料后土壤中 $NH_4^+-N$ 、 $NO_3^--N$ 含量迅速上升并很快达到峰值, $NO_3^--N$ 含量峰值晚于 $NH_4^+-N$ ,二者峰值一般持续两周左右,而后逐渐降低,在施肥 2~3个月后土壤 $NH_4^+-N$ 、

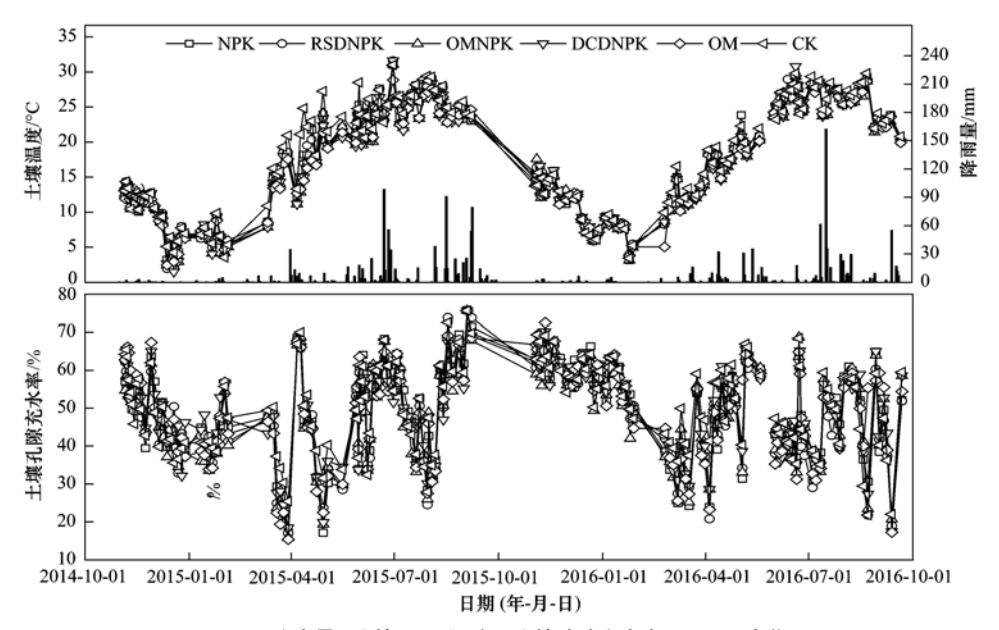


图 1 降水量、土壤 5 cm 温度及土壤孔隙充水率(WFPS)变化

Fig. 1 Rainfall, soil temperature and WFPS for the topsoil (5 cm) under different fertilization regimes

NO<sub>3</sub>-N含量均呈现较低水平. 在玉米季穴施肥料后,并未在施肥初期观测到高含量NH<sub>4</sub>+-N,可能穴施土壤掩埋不利于养分扩散,且为避免直接采集到施肥穴中高NH<sub>4</sub>+-N含量的土壤,通常远离施肥穴采集土样. 但在施肥后短时间内观测到一定含量的NO<sub>3</sub>-N峰,主要源于紫色土的快速硝化作用,铵态氮肥施肥后快速转化成硝酸盐,且硝酸盐易于扩散所致<sup>[23]</sup>.

无论小麦季还是玉米季,不同施肥方式下的土壤 $NH_4^+$ -N、 $NO_3^-$ -N含量差异极显著(P < 0.01). 除DCDNPK 处理外,其余处理的 $NH_4^+$ -N、 $NO_3^-$ -N平均含量随着无机氮肥施肥量的减少而降低,可见各处

理 $NH_4^+$ -N、 $NO_3^-$ -N平均含量大小与无机氮肥施肥量密切相关。DCDNPK 处理由于施用硝化抑制剂有效抑制 $NH_4^+$ -N向 $NO_3^-$ -N转化过程的缘故,在整个生长期土壤 $NH_4^+$ -N平均含量高于其他施肥处理,而 $NO_3^-$ -N呈相反态势(图2).

- 2.2 紫色土  $N_2O$  与  $NO_x$  排放的季节动态
- **2.2.1** 不同施肥方式下紫色土  $N_2O$  的季节排放动态  $2014 \sim 2016$  年 2 个轮作周年内各施肥处理的  $N_2O$  的排放通量变化特征如图 3 所示,表 1 汇总了不同施肥方式在施肥初期的  $N_2O$  排放峰值与出现的时间. 无论是在小麦季还是玉米季,所有施肥处

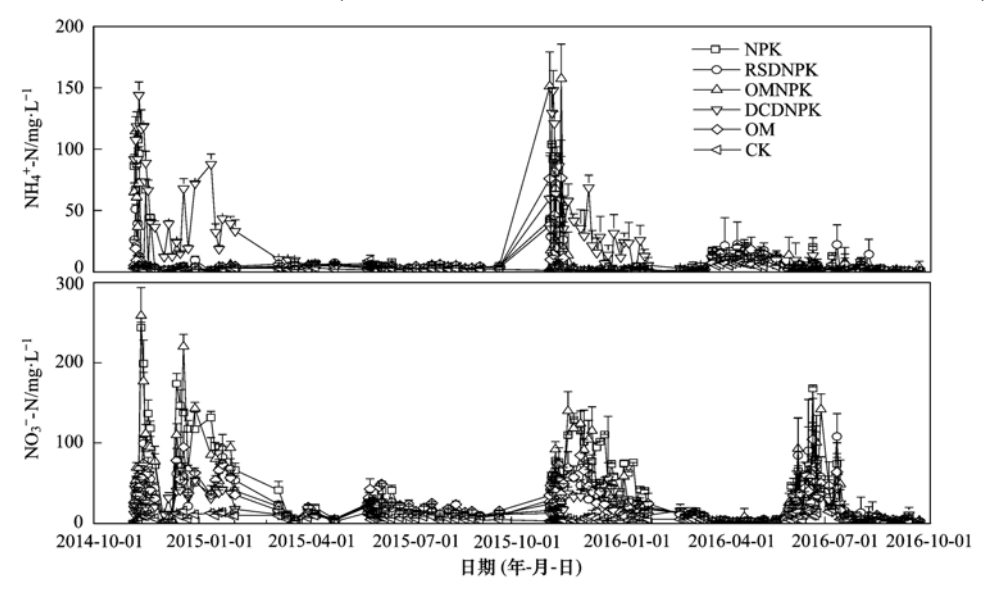


图 2 不同施肥方式下土壤无机氮浓度动态变化

Fig. 2 Dynamic changes in soil inorganic N contents under different fertilization regimes

理的土壤  $N_2O$  排放呈脉冲式,施肥初期均迅速出现  $N_2O$  排放峰,峰值持续约两周时间,随后迅速下降,可见氮肥施用是  $N_2O$  排放峰出现的主要原因之一.不同施肥处理在小麦季、玉米季施肥后  $N_2O$  排放峰出现时间不尽相同,峰值大小呈以下顺序:  $OM > OMNPK > RSDNPK > NPK > DCDNPK,可见有机肥的施用有利于 <math>N_2O$  排放峰值的提高.在两个完整轮

作观测周期内总共观测到 3 次大雨量(包括一次灌溉)的次降雨事件中的高 N<sub>2</sub>O 排放通量,其中 2016 年 6 月 18 日的玉米抗旱灌溉与 2016 年 6 月 22 ~ 23 日出现的玉米季施肥后首场降雨时间间隔较短,可以看作一次连续的次降雨过程,此时施入土壤的肥料氮正处于快速释放时期,施肥初期的肥料效应和次降雨事件共同促发了此次高 N<sub>2</sub>O 排放通量.

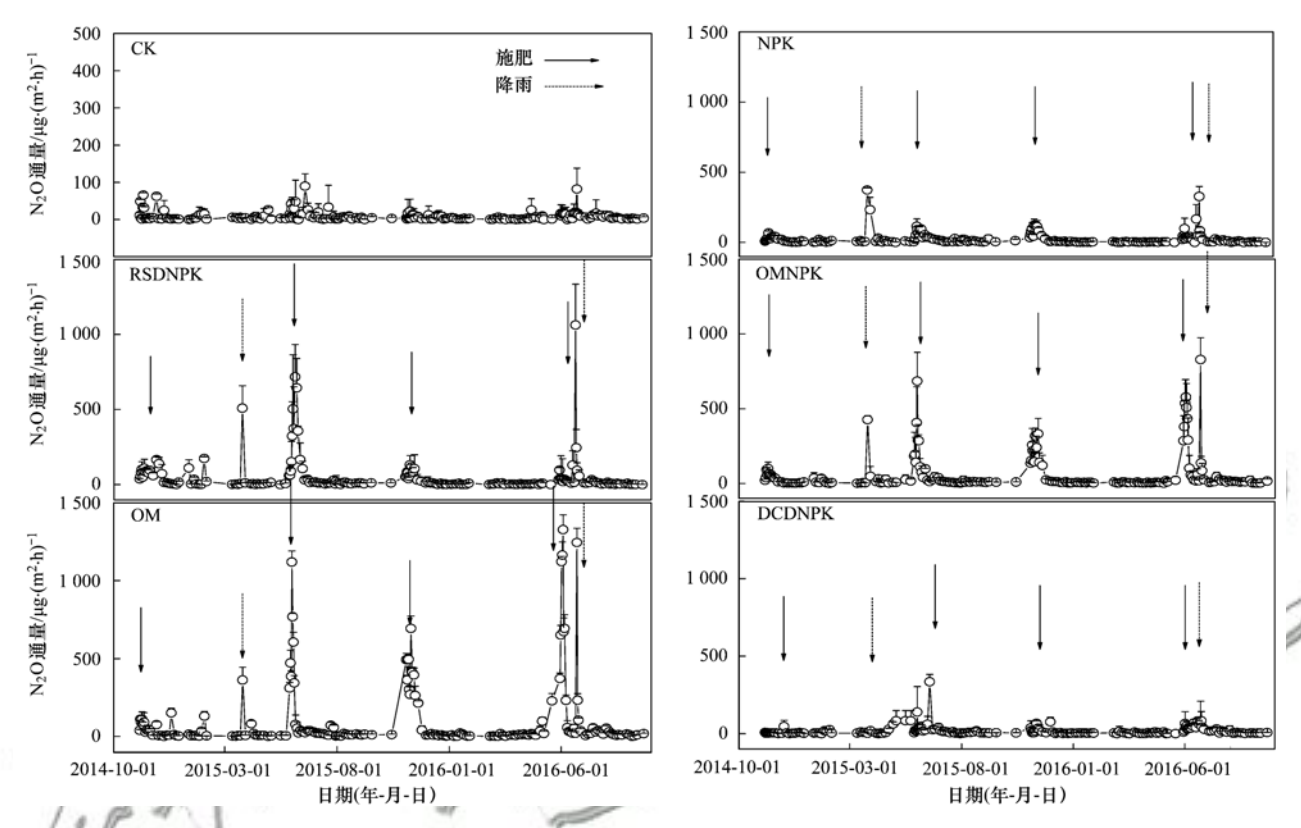


图 3 不同施肥方式下土壤 N2O 排放通量的季节变化

Fig. 3 Seasonal patterns of soil N2O emission flux under different fertilization regimes

表 1 不同施肥方式下施肥初期土壤 N,O 排放的峰值与出现时间

Table 1 N<sub>2</sub>O emission peak and emergence time under different fertilization regimes

	2014~2015 年				2015~2016 年			
处理	出现时间 /d	冬小麦峰值 /μg·(m²·h) <sup>-1</sup>	出现时间 /d	夏玉米峰值 /μg·(m²·h) -1	出现时间 /d	冬小麦峰值 /μg·(m²·h) <sup>-1</sup>	出现时间 /d	夏玉米峰值 /μg·(m²·h) <sup>-1</sup>
OM	4	111. 49 ± 15. 21	4	1 118. 74 ± 25. 84	3	693. 37 $\pm$ 32. 74	5	1 325. 86 ± 38. 21
NPK	9	$57.02 \pm 6.34$	5	72. $14 \pm 16$ . $34$	7	123. 03 $\pm 43.53$	11	$166.91 \pm 31.47$
OMNPK	5	99. $36 \pm 23.43$	5	717. 68 $\pm$ 29. 43	3	$256.95 \pm 54.52$	3	$537.11 \pm 35.53$
RSDNPK	4	$101.48 \pm 19.43$	10	$684.42 \pm 43.21$	6	132. 12 $\pm$ 23. 86	10	190. 23 $\pm$ 19. 57
DCDNPK	6	$46.60 \pm 9.43$	5	$68.92 \pm 23.93$	5	66. 72 ± 16. 03	6	65. 92 ± 13. 73

**2.2.2** 不同施肥方式下紫色土  $NO_x$  的季节排放动态

不同施肥处理 NO<sub>x</sub> 排放的季节特征如图 4 所示,除 DCDNPK 处理外,各施肥处理 NO<sub>x</sub> 高排放通量均出现在施肥初期,持续两周左右,随后迅速降低,并保持相对较低的排放通量至作物收获,可见施肥对于土壤 NO<sub>x</sub> 排放同样具有促进作用. 施用有机

肥的处理( $OM \setminus OMNPK$ )在施肥初期  $NO_x$  的排放峰值显著大于其他处理。DCDNPK 处理在施肥初期未见明显的排放峰,且在整个生长周期  $NO_x$  排放通量都较小。

**2.3** 不同施肥方式下紫色土  $N_2O$  与  $NO_x$  的排放总量 在 2014 ~ 2016 年两个完整轮作周期内,不同施

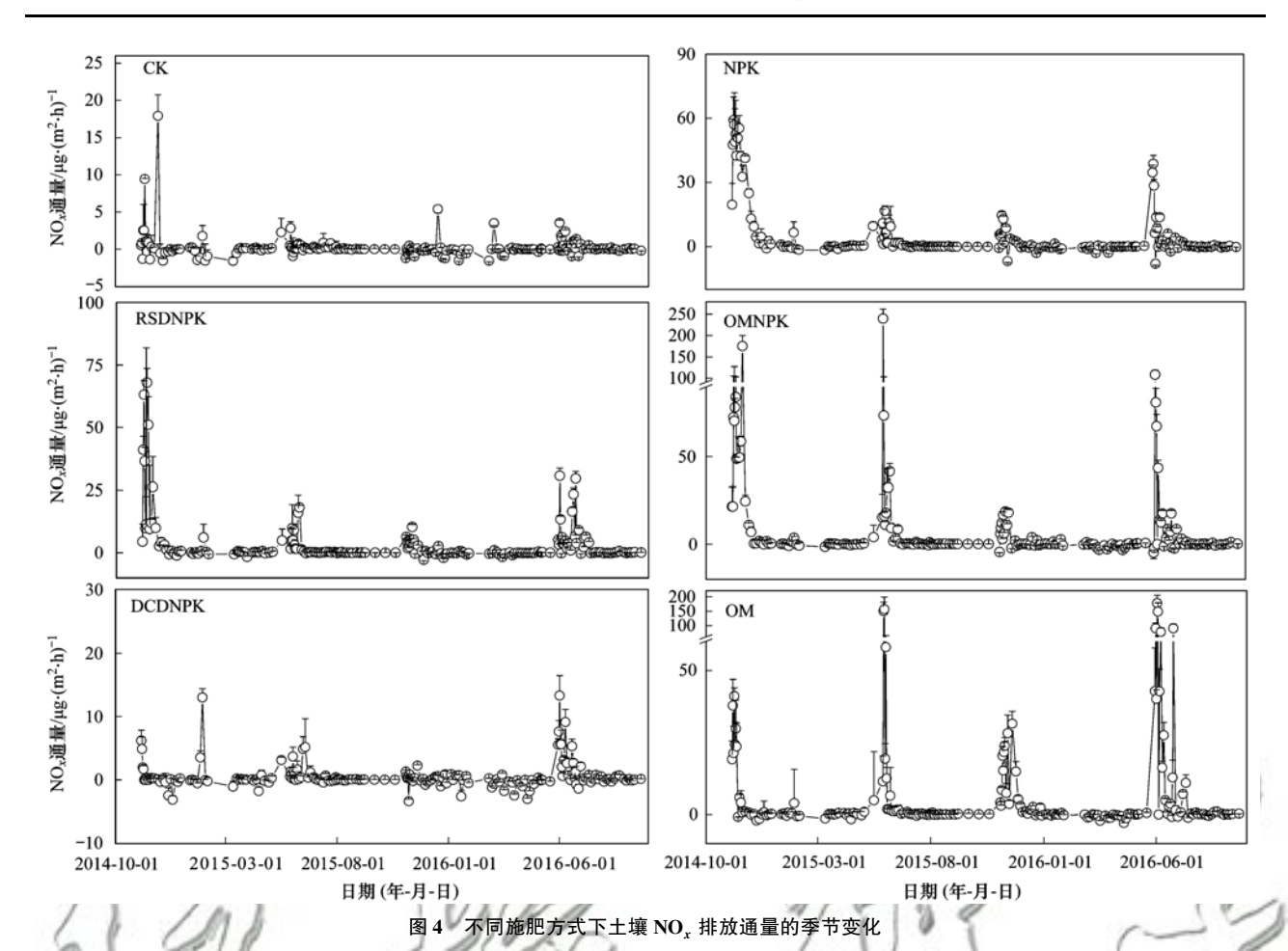


Fig. 4 Seasonal patterns of soil NO<sub>x</sub> emission flux under different fertilization regimes

肥处理土壤  $N_2O$  累积排放量的范围为:  $0.86 \sim 5.72$  kg·hm<sup>-2</sup>,不施肥对照(CK)的年均累积排放量为 0.42 kg·hm<sup>-2</sup>,  $N_2O$  的直接排放系数为  $0.16\% \sim 1.89\%$ (表 2). 较常规 NPK 施肥, OM 与 OMNPK 处理的土壤  $N_2O$  累积排放量分别显著增加 226% 和 83%, RSDNPK 略微增加了 6%, 而 DCDNPK 处理则

显著减少 32% 的排放. OM、OMNPK 和 RSDNPK 处理年均累积  $N_2$  O排放量显著高于 DCDNPK 处理. 同时,施肥显著提高土壤  $NO_x$  的排放量,玉米季  $NO_x$  累积排放量高于小麦季,不同施肥方式下土壤  $NO_x$  排放量范围为 0. 04 ~ 0. 42 kg·hm  $^{-2}$ ,不施肥对照 (CK) 的年均累积排放量为0. 02 kg·hm  $^{-2}$ ,其直

表 2 不同施肥方式下土壤 N<sub>2</sub> O 和 NO<sub>x</sub> 的累积排放量<sup>1)</sup>
Table 2 Completing seil N O and NO<sub>x</sub> emission flav under different festilization resi

	2014~2015 年				2015~2016年				
$\mathrm{N}_2\mathrm{O/NO}_x$	处理	冬小麦	夏玉米	累积	排放系数	冬小麦	夏玉米	累积	排放系数
		/kg⋅hm <sup>-2</sup>	/kg·hm <sup>-2</sup>	/kg∙hm <sup>-2</sup>	/%	/kg•hm <sup>-2</sup>	/kg∙hm <sup>-2</sup>	/kg∙hm <sup>-2</sup>	/%
	CK	$0.\ 14\pm0.\ 07\mathrm{de}$	$0.26 \pm 0.08e$	$0.40 \pm 0.15 e$	_	$0.19 \pm 0.05 e$	$0.25 \pm 0.09e$	$0.44 \pm 0.14e$	_
	OM	$1.23 \pm 0.08a$	1.81 $\pm 0.07a$	$3.04 \pm 0.15a$	0.94	$2.45 \pm 0.41a$	3. $27 \pm 0.35a$	$5.72 \pm 0.76a$	1.89
$N_2O$	NPK	0. 74 $\pm$ 0. 14b	$0.79\pm0.02\mathrm{c}$	$1.53\pm0.16\mathrm{c}$	0.40	$0.55\pm0.21\mathrm{c}$	$0.61\pm0.14\mathrm{c}$	1. $16 \pm 0.35 c$	0. 26
	OMNPK	$0.75\pm0.03\mathrm{c}$	1. $16 \pm 0.22b$	1. 91 $\pm$ 0. 25b	0. 54	1. 18 $\pm 0.29$ b	1. 83 $\pm 0.26$ b	$3.01 \pm 0.55$ b	0. 92
	RSDNPK	$0.73 \pm 0.04 \mathrm{b}$	$0.88\pm0.12\mathrm{c}$	$1.61\pm0.16\mathrm{c}$	0.43	$0.\;59\pm0.\;21\mathrm{c}$	$0.65 \pm 0.23 c$	$1.24\pm0.44\mathrm{c}$	0. 29
	DCDNPK	0. 17 $\pm$ 0. 05 d	$0.69 \pm 0.05 d$	0. 86 $\pm 0.~10\mathrm{d}$	0.16	$0.35\pm0.17\mathrm{d}$	$0.63 \pm 0.18 d$	$0.98 \pm 0.35{\rm d}$	0. 19
	CK	$0.01\pm0.00\mathrm{e}$	$0.01 \pm 0.00e$	$0.02\pm0.00\mathrm{d}$	_	$0.01\pm0.00\mathrm{d}$	$0.01 \pm 0.00 e$	$0.02 \pm 0.00e$	_
	OM	0. 11 $\pm$ 0. 04b	$0.23 \pm 0.02a$	$0.34 \pm 0.06a$	0.11	$0.07 \pm 0.01 a$	0. $35 \pm 0.04a$	$0.42 \pm 0.05 a$	0. 14
$NO_x$	NPK	$0.05\pm0.01\mathrm{c}$	$0.04\pm0.01\mathrm{c}$	$0.\;09\pm 0.\;02{\rm b}$	0.03	$0.05\pm0.01\mathrm{c}$	$0.~07~\pm0.~01\mathrm{c}$	$0.\ 12\pm0.\ 02\mathrm{c}$	0.04
	OMNPK	$0.15 \pm 0.01a$	0. 21 $\pm 0.01  \mathrm{ab}$	0. $36 \pm 0.02a$	0.12	$0.06 \pm 0.01 \mathrm{b}$	0. $12 \pm 0.02b$	0. $18 \pm 0.03$ b	0.06
	RSDNPK	$0.03 \pm 0.01 \mathrm{d}$	$0.\;08\;\pm 0.\;02{\rm b}$	0. 11 $\pm 0.03$ b	0.03	$0.01\pm0.00\mathrm{d}$	$0.08\pm0.01\mathrm{c}$	$0.09 \pm 0.01 c$	0.03
	DCDNPK	$0.02 \pm 0.00e$	$0.02 \pm 0.01 d$	$0.04 \pm 0.01c$	0.01	$0.02 \pm 0.00 d$	$0.02 \pm 0.00 d$	$0.04 \pm 0.00 d$	0.01

<sup>1)</sup> 表中字母为同一列数据间的 Duncan 多重比较结果,字母不同表示在 0.05 水平显著

接排放系数为  $0.01\% \sim 0.14\%$  (表 2),有机肥处理的  $NO_x$  累积排放量显著高于无机肥处理(表 2).相对于 NPK 处理, OM 和 OMNPK 处理的土壤  $NO_x$  排放量分别增加 262% 和 157%,而 DCDNPK 和 RSDNPK 则减少 62% 和 5%.

#### 3 讨论

#### 3.1 施肥方式对紫色土 N<sub>2</sub>O 与 NO<sub>2</sub> 排放通量的影响

施肥方式对于紫色土 N,O 累积排放具有显著 影响(P<0.05,表2),施肥方式对 N,O 累积排放量 均呈现 OM > OMNPK > RSDNPK > NPK > DCDNPK 的顺序. 施用猪厩肥促进土壤 N,O 排放,这与土壤 C/N 比有关[24],本研究所施用的猪厩肥 C/N 较低 (15:1),导致施用猪厩肥土壤 C/N 与其他处理显著 差异. 秸秆还田方式(RSDNPK)下土壤 N<sub>2</sub>O 累积排 放略高于 NPK 处理,可能因秸秆还田改善了土壤结 构、提供了充足的碳源,有机碳的大量输入增强土 壤异养微生物的呼吸作用和活性,加快了土壤中氧 气的消耗,加速土壤厌氧环境的形成,间接增强了土 壤微生物的反硝化作用[25]. 较常规施肥(NPK),硝 化抑制剂配合氮磷钾化肥显著降低了土壤 N,O 排 放,这主要由于 DCD 能有效抑制土壤中硝化作用, 降低了NO<sub>3</sub>-N的形成进而降低 N,O 排放<sup>[26]</sup>,这也 与该施肥方式下土壤硝酸盐含量(图2)较低相

本研究中采用静态暗箱和两点采样方法测定  $NO_x$  的通量,所测某一时间段  $NO_x$  通量能否表示当天的  $NO_x$  排放通量还有待进一步研究,因此,此方法具有一定的不确定性 [27] . 施肥方式对于紫色土  $NO_x$  累积排放也具有显著影响 (P < 0.05,表 2). OM 和 OMNPK 处理比 NPK 处理多排放 2~3 倍的

 $NO_x$  量,这可能由于猪厩肥调节土壤 C/N 而改善土壤微生物活性有关; 而 DCDNPK 处理比 NPK 处理显著减少  $NO_x$  的排放可能与 DCD 抑制  $NH_4^+$ -N 向  $NO_x^-$ -N转化有关.

#### 3.2 紫色土 N<sub>2</sub>O 与 NO<sub>x</sub> 排放的环境驱动因子

土壤无机氮含量、孔隙充水率和温度都不同程 度地影响土壤 N,O 的排放. N,O 排放通量与土壤无 机氮含量显著正相关(P < 0.01,表 3). 土壤 $NH_4^+ - N$ 和NO, -N是硝化细菌与反硝化细菌的底物,对土壤 N<sub>2</sub>O产生起着至关重要的作用,因此无机氮含量是 N,O 排放的主控因子之一; 各处理 N,O 排放通量与 土壤孔隙充水率呈显著正相关(P<0.01),土壤孔 隙充水率一定程度上反映土壤中 0, 浓度大小, 孔隙 充水率越大,土壤中空气流通性越差,土壤更易处于 厌氧环境,土壤中反硝化细菌的活性提高导致排放 更多的 N,O<sup>[28]</sup>,土壤孔隙充水率也是土壤 N,O 排放 的主控因子之一;土壤温度通过影响微生物反应速 率和土壤气体扩散速率而影响 N,O 的释放[29],但 在观测周期内,只有 DCDNPK 和 CK 处理土壤温度 与 N,O 通量呈现相关关系,其余处理未出现显著相 关,可能因为 N,O 排放受多个因子的影响,其他因 子掩盖了土壤温度对 N,O 的影响效应.

一般认为,土壤  $NO_x$  排放主要来源于自养和异养硝化细菌的硝化作用 $^{[30]}$ ,  $N_2O$  的排放主要来源于反硝化作用 $^{[31]}$ . 本研究发现不同施肥方式下的土壤  $NO_x$  的排放通量与土壤温度呈显著相关(P<0.05,表 3),这可能是因为硝化作用微生物活动的适宜温度范围是  $15\sim35$ ° $^{[32]}$ ,而观测期间的平均土壤温度为 17.5° $^{\circ}$ ,在此温度附近硝化作用微生物活性随温度升高而上升. 此外,土壤孔隙充水率与  $NO_x$ 排放通量无显著相关,这是因为土壤水分的影

表 3 不同施肥方式下土壤  $N_2O$  和  $NO_r$  排放通量与土壤环境的相关分析 $^{1)}$ 

Table 3 Correlation between N2O and NOx fluxes and soil environmental factors under different fertilization regimes

$N_2 O/NO_x$	处理	样本数	土壤温度	土壤孔隙充水率	土壤无机氮含量
	CK	169	0. 287 *	0. 212 * *	0. 447 * *
	OM	169	0. 236 *	0. 251 * *	0. 461 * *
$N_2O$	NPK	169	0. 175	0. 280 * *	0. 352 * *
	RSDNPK	168	0. 141	0. 281 * *	0. 420 * *
	OMNPK	169	0. 182	0. 251 * *	0. 422 * *
	DCDNPK	169	0. 360 * *	0. 227 * *	0. 453 * *
	CK	169	0. 185 *	0. 039	0. 488 * *
	OM	169	0. 165 *	0. 01	0. 464 * *
$NO_x$	NPK	169	0. 166 *	0.089	0.512 * *
	RSDNPK	168	0. 221 *	0. 110	0. 428 * *
	OMNPK	169	0. 184 *	0.045	0. 433 * *
	DCDNPK	169	0. 169 *	-0.03	0. 346 * *

<sup>1)\*</sup>和\*\*分别代表在0.05和0.01水平显著相关,表中数值代表皮尔森相关系数

响较为复杂<sup>[33]</sup>,通常认为 30% ~60% 的 WFPS 条件适宜于  $NO_x$  排放,而 60% ~80% 的 WFPS 适宜于  $N_2O$  排放<sup>[34]</sup>,观测周期内土壤孔隙充水率的范围在 15.4% ~75.6% 波动,波动范围较大是造成  $NO_x$  与土壤孔隙充水率之间关系不明确的重要原因.

#### 4 结论

- (1)紫色土施肥初期均出现  $N_2O$  和  $NO_x$  排放峰值,高排放通量维持 2 周左右,之后排放通量迅速下降,降雨过程中也出现明显的  $N_2O$  峰值,但未见  $NO_x$  排放峰. 从整个生长季来看,玉米季累积  $N_2O$ 、 $NO_x$  排放量大于小麦季.
- (2)施肥方式对土壤  $N_2O$ 、 $NO_x$  累积排放有显著影响(P < 0.05),较常规氮磷钾施肥而言,猪厩肥配施氮磷钾、秸秆还田配施氮磷钾促进紫色土  $N_2O$  排放,而硝化抑制剂显著降低紫色土  $N_2O$  排放;施用猪厩肥(OM、OMNPK)显著增加  $NO_x$  累积排放量,而硝化抑制剂与秸秆还田显著抑制  $NO_x$  排放.
- (3) 土壤无机氮含量是  $N_2O$  和  $NO_x$  排放的底物,施肥是调节土壤无机氮含量的主要手段,通过合理施肥调控土壤无机氮水平,可有效减控土壤  $N_2O$  和  $NO_x$  的累积排放.

#### 参考文献:

- [ 1 ] IPCC. Changes in atmospheric constituents and in Radiative Forcing[A]. In: Solomon S, Qin D, Manning M, et al (Eds.). Climate Change 2007: The Physical Science Basis. Contribution of Working Group I to the Fourth Assessment Report of the Intergovernmental Panel on Climate Change [C]. Cambridge, United Kingdom, New York, NY, USA: Cambridge University Press, 2007. 141-212.
- [ 2 ] North G R. Climate change 1994: radiative forcing of climate change and an evaluation of the IPCC IS92 emission scenarios. Intergovernmental panel on climate change (IPCC) [ J ]. Global and Planetary Change, 1997, 15(1-2): 59-60.
- [ 3 ] Syakila A, Kroeze C. The global nitrous oxide budget revisited
   [ J]. Greenhouse Gas Measurement and Management, 2011, 1
   (1): 17-26.
- [4] Mosier A, Kroeze C, Nevison C, et al. Closing the global atmospheric N<sub>2</sub>O budget: nitrous oxide emissions through the agricultural nitrogen cycle [J]. Nutrient Cycling in Agroecosystems, 1998, 52(2-3): 225-248.
- [5] 王英,李令军,刘阳. 京津冀与长三角区域大气 NO<sub>2</sub> 污染特征[J]. 环境科学, 2012, **33**(11): 3685-3692.

  Wang Y, Li L J, Liu Y. Characteristics of atmospheric NO<sub>2</sub> in the Beijing-Tianjin-Hebei region and the Yangtze river delta analyzed by satellite and ground observations[J]. Environmental Science, 2012, **33**(11): 3685-3692.
- [6] 沈利娟, 李莉, 吕升, 等. 2013 年夏季嘉兴市一次光化学事件的观测分析[J]. 环境科学, 2014, **35**(5): 1662-1670. Shen L J, Li L, Lv S, *et al.* Observation of a photochemical

- event in Jiaxing during summer 2013 [ J ]. Environmental Science, 2014, 35(5): 1662-1670.
- [7] Stavrakou T, Müller J F, Boersma K F, et al. Assessing the distribution and growth rates of NO<sub>x</sub> emission sources by inverting a 10-year record of NO<sub>2</sub> satellite columns [J]. Geophysical Research Letters, 2008, 35(10): L10801.
- [8] 张中杰,朱波,项红艳. 氮肥施用对西南地区紫色土冬小麦  $N_2$ 0 释放和反硝化作用的影响 [J]. 农业环境科学学报, 2010, **29**(10): 2033-2040.
  - Zhang Z J, Zhu B, Xiang H Y. Effect of nitrogen fertilizer for wheat on  $N_2O$  emission and denitrification in purple soil [J]. Journal of Agro-Environment Science, 2010, **29** (10): 2033-2040.
- [9] 曾泽彬,朱波,朱雪梅,等. 施肥对夏玉米季紫色土 N<sub>2</sub>O 排放及反硝化作用的影响[J]. 土壤学报, 2013, **50**(1): 130-137. Zeng Z B, Zhu B, Zhu X M, *et al*. Effects of fertilization on N<sub>2</sub>O emission and denitrification in purple soil during summer maize season in the Sichuan basin[J]. Acta Pedologica Sinica, 2013, **50**(1): 130-137.
- [10] Ball B C, McTaggart I P, Scott A. Mitigation of greenhouse gas emissions from soil under silage production by use of organic manures or slow-release fertilizer[J]. Soil Use and Management, 2004, 20(3): 287-295.
- [11] Miller M N, Zebarth B J, Dandie C E, et al. Crop residue influence on denitrification, N<sub>2</sub>O emissions and denitrifier community abundance in soil[J]. Soil Biology and Biochemistry, 2008, 40(10): 2553-2562.
- [12] Meng L, Ding W X, Cai Z C. Long-term application of organic manure and nitrogen fertilizer on N<sub>2</sub>O emissions, soil quality and crop production in a sandy loam soil [J]. Soil Biology and Biochemistry, 2005, 37(11): 2037-2045.
- [13] 李方敏、獎小林、刘芳、等. 控释肥料对稻田氧化亚氮排放的影响[J]. 应用生态学报,2004,15(11):2170-2174. Li F M, Fan X L, Liu F, et al. Effects of controlled release fertilizers on N<sub>2</sub>O emission from paddy field[J]. Chinese Journal of Applied Ecology, 2004, 15(11):2170-2174.
- [14] 纪洋, 刘刚, 马静, 等. 控释肥施用对小麦生长期 N<sub>2</sub>O 排放的影响[J]. 土壤学报, 2012, **49**(3): 526-534.

  Ji Y, Liu G, Ma J, *et al.* Effect of controlled-release fertilizer (CRF) on nitrous oxide emission during the wheat growing period [J]. Acta Pedologica Sinica, 2012, **49**(3): 526-534.
- [15] 胡小康,黄彬香,苏芳,等. 氮肥管理对夏玉米土壤  $CH_4$  和  $N_2O$  排放的影响[J]. 中国科学: 化学, 2011, **41**(1): 117-128.
  - Hu X K, Huang B X, Su F, et al. Effects of nitrogen management on methane and nitrous oxide emissions from summer maize soil in North China Plain [J]. Scientia Sinica Chimica, 2011, 41(1): 117-128.
- [16] Du C Y, Duan Z Y, Lu Y, et al. Effect of slow and controlled release fertilizers on the yield and nutrient use efficiency of hot pepper in Qiu-Bei [J]. Agricultural Science & Technology, 2011, 12(5): 761-764.
- [17] 李虎,王立刚,邱建军.基于 DNDC 模型的华北典型农田氮 素损失分析及综合调控途径[J].中国生态农业学报,2012,20(4):414-421.
  - Li H, Wang L G, Qiu J J. Nitrate loss simulated with DNDC model and control technologies in typical cropland of North China

- [J]. Chinese Journal of Eco-Agriculture, 2012, **20**(4): 414-421.
- [18] 杨黎,王立刚,李虎,等. 基于 DNDC 模型的东北地区春玉 米农田固碳减排措施研究[J]. 植物营养与肥料学报,2014, **20**(1):75-86.
  - Yang L, Wang LG, Li H, et al. Modeling impacts of alternative farming management practices on carbon sequestration and mitigating  $N_2O$  emissions from spring maize fields [J]. Journal of Plant Nutrition and Fertilizer, 2014, 20(1): 75-86.
- [19] 项虹艳,朱波,况福虹,等. 氮肥施用对紫色土-玉米根系系 统 N<sub>2</sub>O 排放的影响[J]. 环境科学学报,2007,**27**(3):413-420.
  - Xiang H Y, Zhu B, Kuang F H, et al. Effects of nitrogen fertilizer application on  $N_2O$  emission in a purple soil and maize root system [J]. Acta Scientiae Circumstantiae, 2007, 27(3): 413-420.
- [20] 刘韵,柳文丽,朱波.施肥方式对冬小麦-夏玉米轮作土壤 N<sub>2</sub>O 排放的影响[J]. 土壤学报, 2016, **53**(3): 735-745. Liu Y, Liu W L, Zhu B. Effect of fertilization regime on soil N<sub>2</sub>O emission from upland field under wheat-maize rotation system[J]. Acta Pedologica Sinica, 2016, **53**(3): 735-745.
- [21] 朱波,周明华,况福虹,等.紫色土坡耕地氮素淋失通量的实测与模拟[J].中国生态农业学报,2013,**21**(1):102-109.
  - Zhu B, Zhou M H, Kuang F H, *et al.* Measurement and simulation of nitrogen leaching loss in hillslope cropland of purple soil [J]. Chinese Journal of Eco-Agriculture, 2013, **21** (1): 102-109
- [22] 柳文丽, 季锡鹏, 沈茜, 等. 施肥方式对冬小麦季紫色土 N<sub>2</sub>O 排放特征的影响[J]. 中国生态农业学报, 2014, **22** (9): 1029-1037.
  Liu W L, Li X P, Shen X, *et al.* Effects of fertilizer application
  - Liu W L, Li X P, Shen X, et al. Effects of fertilizer application regimes on soil  $N_2O$  emissions in the croplands of purple soil in the Sichuan basin during wheat season [J]. Chinese Journal of Eco-Agriculture, 2014, 22(9): 1029-1037.
- [23] Wang J, Zhu B, Zhang J B, et al. Mechanisms of soil N dynamics following long-term application of organic fertilizers to subtropical rain-fed purple soil in China [J]. Soil Biology and Biochemistry, 2015, 91: 222-231.
- [24] Fleisher D H, Cavazzoni J, Giacomelli G A, et al. Adaptation of Substor for controlled-environment potato production with elevated carbon dioxide[J]. Transactions of the ASAE, 2003, 46(2): 531-538.
- [25] Cannavo P, Richaume A, Lafolie F. Fate of nitrogen and carbon in the vadose zone: in situ and laboratory measurements of seasonal variations in aerobic respiratory and denitrifying activities

[J]. Soil Biology and Biochemistry, 2004, 36(3): 463-478.

38 卷

- [26] 刘倩,褚贵新,刘涛,等. DCD 在不同质地土壤上的硝化抑制效果和剂量效应研究[J]. 中国生态农业学报,2011,19 (4):765-770.
  - Liu Q, Chu G X, Liu T, et al. Nitrification inhibition and dose-dependent effect of dicyandiamide on sandy, loamy and clayey soils[J]. Chinese Journal of Eco-Agriculture, 2011, 19 (4): 765-770.
- [27] 曹彦圣, 田玉华, 尹斌, 等. 农业土壤 NO 排放研究进展 [J]. 土壤, 2013, **45**(5): 791-799.

  Cao Y S, Tian Y H, Yin B, *et al.* Investigation on NO emission from agricultural soils[J]. Soils, 2013, **45**(5): 791-799.
- [28] 王改玲, 陈德立, 李勇. 土壤温度、水分和NH<sub>4</sub>\*-N浓度对土壤硝化反应速度及 N<sub>2</sub>O 排放的影响[J]. 中国生态农业学报, 2010, **18**(1): 1-6.
  Wang G L, Chen D L, Li Y. Effect of soil temperature, moisture and NH<sub>4</sub>\*-N concentration on nitrification and nitrification-induced N<sub>2</sub>O emission[J]. Chinese Journal of Eco-Agriculture,

2010, **18**(1): 1-6.

- [29] 刘全全,王俊,付鑫,等. 不同覆盖措施对黄土高原旱作农田 N<sub>2</sub>O 通量的影响[J]. 干旱地区农业研究,2016,34(3):115-122,178.

  Liu Q Q, Wang J, Fu X, et al. Effects of different mulching measures on soil N<sub>2</sub>O flux in rainfed winter wheat fields in the Loess Plateau of China [J]. Agricultural Research in the Arid
- Areas, 2016, **34**(3): 115-122, 178.

  [30] 杨杉, 吴胜军, 蔡延江, 等. 硝态氮异化还原机制及其主导因素研究进展[J]. 生态学报, 2016, **36**(5): 1224-1232, Yang S, Wu S J, Cai Y J, *et al.* The synergetic and competitive mechanism and the dominant factors of dissimilatory nitrate reduction processes: a review[J]. Acta Ecologica Sinica, 2016, **36**(5): 1224-1232.
- [31] Feng C, Yan G X, Zhou Z X, et al. Annual emissions of nitrous oxide and nitric oxide from a wheat-maize cropping system on a silt loam calcareous soil in the North China Plain [J]. Soil Biology and Biochemistry, 2012, 48: 10-19.
- [32] 郑循华, 王明星, 王跃思, 等. 温度对农田 N<sub>2</sub>O 产生与排放的影响[J]. 环境科学, 1997, 18(5): 1-5.
  Zheng X H, Wang M X, Wang Y S, et al. Impacts of temperature on N<sub>2</sub>O production and emission[J]. Environmental Science, 1997, 18(5): 1-5.
- [33] Smith K A. Demystifying organ procurement [J]. AORN Journal, 1992, 55(6): 1530-1540.
- [34] Sierra J, Renault P. Respiratory Activity and oxygen distribution in natural aggregates in relation to anaerobiosis [J]. Soil Science Society of America Journal, 1996, 60(5): 1428-1438.

# **HUANJING KEXUE**

Environmental Science (monthly)

Vol. 38 No. 8 Aug. 15, 2017

## **CONTENTS**

CONTENTS	
Evaluation and Development of a Weighing Chamber by Using Saturated MgCl <sub>2</sub> Solution ·····	
Characteristics Research on Carbonaceous Component of Particulate Matter Emitted from Iron and Steel Industry	
Pollution Characteristics and Source Identification of PAHs in Atmospheric PM <sub>2,5</sub> in Changzhou City	
Atmospheric Dry Deposition Fluxes and Sources of Polycyclic Aromatic Hydrocarbons in Lanzhou Valley, Northwest China	
Characteristics and Sources of Elements in Atmospheric Dust Fall in Zhuzhou City, Central China	
Atmospheric Pollutant Emission Characteristics from the Cooking Process of Traditional Beijing Roast Duck	
Exhaust Emission Characteristics of Typical Alkanes from Heavy-Duty Diesel Vehicles Based on a Portable Emission Measurement Sys	tem ·····
PM <sub>10</sub> Concentration Forecasting Model Based on Wavelet-SVM ····	····· WANG Ping, ZHANG Hong, QIN Zuo-dong, et al. (3153)
Emission Factors and Preliminary Emission Estimates of Air Pollutants from Ships at Berth in the Guangzhou Port	
Influence of Dust Events on the Concentration and Size Distribution of Microorganisms in Bioaerosols	
Odor Emission Characteristics and Pollution Evaluation from Typical Household Rubbish Disposal Facilities	
Perfluorinated Compounds in Snow from Downtown Hangzhou, China	
Fluorescence Characterization of Fractionated Colloids in Wastewaters Received by Huangpu River	······ NIE Ming-hua, YAN Cai-xia, YANG Yi, et al. (3192)
Sources of Organic Carbon in the Surface Water of Lijiang River	ZHAO Hai-juan, XIAO Qiong, WU Xia, et al. (3200)
Impacts of Thermal Stratification on the Hydrochemistry and Dissolved Inorganic Carbon in a Typical Karst Reservoir in Summer	WU Fei-hong, PU Jun-bing, LI Jian-hong, et al. (3209)
Comparison of Heavy Metal Contamination Characteristics in Surface Water in Different Functional Areas; A Case Study of Ningbo	XU Mei-juan, TONG Gui-hua, SUN Dan, et al. (3218)
Comparison of Identification Methods of Main Component Hydrochemical Anomalies in Groundwater: A Case Study of Liujiang Basin	
	··· ZHANG Xiao-wen, HE Jiang-tao, PENG Cong, et al. (3225)
Biotic and Abiotic Uptake of Phosphorus in Benthic Sediments of Suburban Streams Under Intense Human Disturbance Scenario	
Sedimentary Phosphorus Speciation in the Coastal Hypoxic Area of Changjiang Estuary and Its Environmental Significance	
Characteristics and the Relationship of Nitrogen and Phosphorus in Soil and Water of Different Land Use Types of a Small Watershed	
Commence and the recursion of the response in our and the contract of the cont	····· CHEN Cheng-long GAO Ming MIJ Zhi-iian et al. (3254)
Characteristics of Carbon Transportation Under Rainfall Events and Associated Carbon Loss Evaluation in Loess Plateau, China: A Ca	
Characteristics of Carbon Hansportation Circle Raman Erens and Associated Carbon Eloss Evaluation in Elocs Fatical, Clinia; A Carbon Eloss Elos Elos Elos Elos Elos Elos Elo	F Vin-hui WANC Va-fang CAO Vang et al. (3264)
New Bromated Phenolic Disinfection Byproducts: Mechanism of Their Decomposition During Chlorination	
Effects of Algal Morphology and Al Species Distribution on the Coagulation-Ultrafiltration Process	
Functional Group Characteristics of Planktonic Diatoms and Their Relationship with Environmental Factors in the Ruxi River	
Spatiotemporal Variations of Chlorophyll a and Its Relationship to Environmental Factors in Shiyan Reservoir	
Spanotemporar variations of Uniorophyli a and its Relationship to Environmental Factors in Shiyan Reservoir  Rhizosphere Microbial Diversity in Different Wetland Microcosms	
Community Structure of Microorganisms and Its Seasonal Variation in Beihai Lake	
Analysis of Microbial Diversity in a Fluidized-Sand Biofilter Based on High-Throughput Sequencing Technology ZHAN	
Analysis of High-efficiency Denitrifying Bacteria and Embedding Filler Performance and Microflora	
Selection of Microalgae for Biofuel Using Municipal Wastewater as a Resource	
Purification Effect of Piggery Wastewater with Chlorella pyrenoidosa by Immobilized Biofilm-Attached Culture	
Combination of Microbubble Catalytic Ozonation and Biological Process for Advanced Treatment of Biotreated Coal Chemical Wastewat	the classification of the control of
Effect of pH Shock on Nitrogen Removal Performance of Marine Anaerobic Ammonium-Oxidizing Bacteria Treating Saline Wastewater	
Removal of Nitrogen from Alcohol Wastewater by PN-ANAMMOX	
Biorecovery of Palladium from Simulated Wastewaters and Its Catalytic Property for Methylene Blue	
Investigation of Initiation and Shock Process of ANAMMOX Based on Color Space	
Fast Start-up of Shortcut Nitrification in a CSTR and an MBR	
Conversion Pathways of Substrates in Sulfate-Reducing Ammonia Oxidation System	
Effect of Different TOC to NH <sub>4</sub> <sup>+</sup> -N Ratios on Nitrogen Removal Efficiency in the ANAMMOX Process ·····	
Effects of Salinity on the Operation of EGSB Reactors and the Anaerobic Granular Sludge	
Start-up of Granule CANON Process and the Strategy for Enhancing Total Nitrogen Removal Rate	
$Effect \ of \ Extracellular \ Polymeric \ Substance \ (EPS) \ on \ the \ Adsorption \ of \ Perfluorooctane \ Sulfonate \ (PFOS) \ onto \ Activated \ Sludge \ \cdots$	
${\it Characteristics of N_2O \ and \ NO_x \ Emissions \ from \ Purple \ Soil \ Under \ Different \ Fertilization \ Regimes}$	
Effect of Plastic Film Mulching on Methane Emission from a Vegetable Field	······· ZHANG Kai-li, HAO Qing-ju, FENG Di, et al. (3451)
Responses of Soil Ammonia Oxidizers to Simulated Warming and Increased Precipitation in a Temperate Steppe of Inner Mongolia	····· ZHANG Cui-jing, SHEN Ju-pei, SUN Yi-fei, et al. (3463)
Nitrification Activity and Autotrophic Nitrifiers in Long-term Fertilized Acidic Upland Soils	
Effects of CaCO <sub>3</sub> Application on Soil Microbial Nitrogen Cycle in an Acid Soil	GUO An-ning, DUAN Gui-lan, ZHAO Zhong-qiu, et al. ( $3483)$
Responses of Extracellular Enzymes to Nitrogen Application in Rice of Various Ages with Rhizosphere and Bulk Soil	····· WEI Liang, TANG Zhen-zhu, ZHU Zhen-ke, et al. (3489)
Variation in the Temperature Sensitivity of Surface Litter Respiration and Its Influencing Factors	
Magnetic Properties of Farmland Soils in Arid Regions in Northwest China and Their Environmental Implications	
Preparation of Magnetic Biomass Carbon by Thermal Decomposition of Siderite Driven by Wheat Straw and Its Adsorption on Cadmium	
Effects of Traffic-related Air Pollution Exposure on DNA Methylation	· · · · · · · · · · · · · · · · · · ·
Effects of Exogenous Microorganism Inoculation on Efficiency and Bacterial Community Structure of Sludge Composting	_
Life Cycle Assessment of Traction Lead-acid Batteries for Electric Bikes in China	
	, p., oim, ma jun (3347)